



(12)

CERERE DE BREVET DE INVENȚIE

(21) Nr. cerere: **a 2021 00548**

(22) Data de depozit: **14/09/2021**

(41) Data publicării cererii:
30/03/2023 BOPI nr. **3/2023**

(71) Solicitant:
• INSTITUTUL NAȚIONAL DE
CERCETARE-DEZVOLTARE
CHIMICO-FARMACEUTICĂ - ICCF
BUCUREȘTI, CALEA VITAN NR.112,
SECTOR 3, BUCUREȘTI, B, RO

(72) Inventatori:
• PINTILIE LUCIA, INTRAREA VORONEȚ
NR.14, BL.D 8, SC.3, ET.1, AP.36,
SECTOR 3, BUCUREȘTI, B, RO;
• STARAS ADELA-IOANA,
STR. PRELUNGIREA BUCUREȘTI, NR.5,
BL.C19, SC.A, AP.3, ET.2, CĂLĂRAȘI, CL,
RO

(54) **AGENȚI ANTIMICROBIENI CU STRUCTURĂ CHINOLONICĂ**

(57) Rezumat:

Invenția se referă la derivați cu structură chinolonică cu activitate antimicrobiană utilizati în tratamentul infecțiilor cauzate de microorganisme gram- pozitive și gram-negative. Derivații cu structură chinolonică, conform inventiei, sunt definiți de formula generală I, în care R₆

este fluor, clor, hidrogen, metil, iar R₇ este 3,5-dimetil-piperazinil, homopiperazinil, piperazinil, 4-metil-piperazinil.

Revendicări: 9

Cu începere de la data publicării cererii de brevet, cererea asigură, în mod provizoriu, solicitantului, protecția conferită potrivit dispozițiilor art.32 din Legea nr.64/1991, cu excepția cazurilor în care cererea de brevet de inventie a fost respinsă, retrasă sau considerată ca fiind retrasă. Întinderea protecției conferite de cererea de brevet de inventie este determinată de revendicările conținute în cererea publicată în conformitate cu art.23 alin.(1) - (3).



57

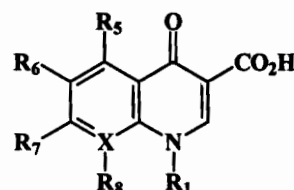
OFICIUL DE STAT PENTRU INVENTII SI MARCI
Cerere de brevet de inventie
Nr. 2021 00578
Data depozit 14 -09- 2021

Agenti antimicrobieni cu structura chinolonica

Prezenta inventie se refera la derivati chinolone cu activitate antimicrobiana si la procedee de preparare al lor.

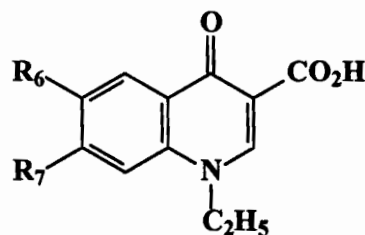
Chinolonele sunt agenti antimicrobieni cu un spectru larg de actiune, obtinuti prin sinteza chimica.

Se cunosc dervatii de chinolone definiti prin structura generala :



in care substituentii au diferite semnificatii bine definite, care prezinta activitate antibacteriana atat impotriva bacteriilor gram-poziitive cat si a celor gram-negative. [US 4017622]; [Koga H.; Itoh A.; Murayama S.; J.Med. Chem. ,1980,23, 1358-1363; [US 292317], Jose A.; J. Med. Chem. 1991, 34,78-81];[EP 0191185]; [WO 9605192];[WO 89/06649]; [DE 2840910];[EP0235762];

Prezenta inventie largeste gama derivatilor cu activitate antimicrobiana cu noi compusi care corespund formulei generale I:



I

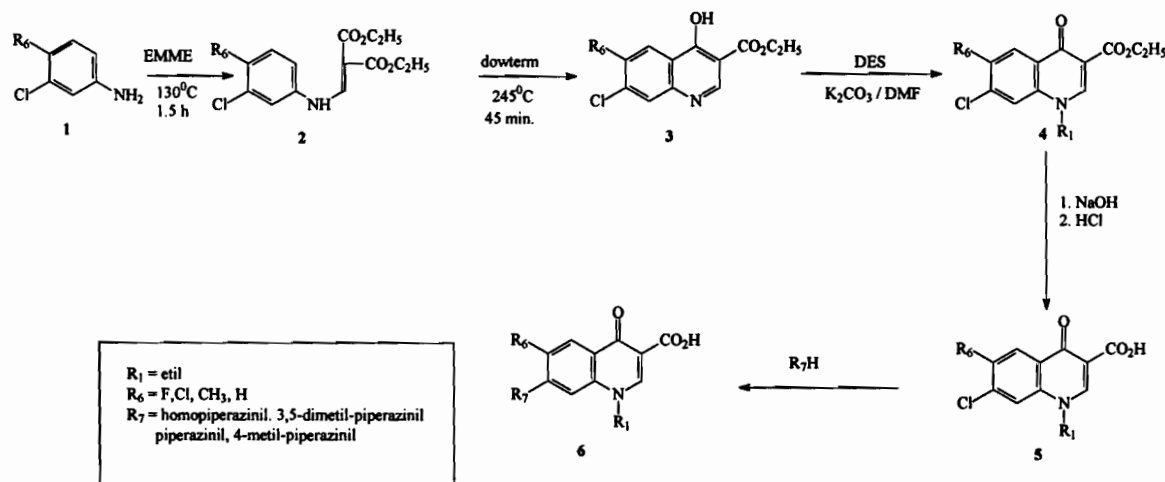
in care : R₆ este fluor, clor, hidrogen, metil, iar R₇ este 3,5-dimetil-piperazinil, homopiperazinil, piperazinil, 4-metil-piperazinil

Acesti derivati se prepara prin metoda Gould-Jacobs – schema de Reactii Nr.1. care consta in urmatoarele etape de sinteza:

◆ *Sinteza esterului etilic al acidului 6-(substituit/nesubstituit)-7-cloro-4-hidroxi-chinolin-3-carboxilic (3)*

Sintetiza esterului etilic al acidului 6-(substituit/nesubstituit)-7-cloro-4-hidroxi-chinolin-3-carboxilic consta in reactia de condensare a unei aniline N-nesubstituite (1) cu etoximetilenmalonatul de etil la temperatura de 130°C, timp de 1-1,5 ore si cicлизarea anilinometilenmalonatului obtinut in dowerm timp de 45 min. la 250°C.

Schema de reactii Nr.1



◆ *Sinteza acidului 6-(substituit/nesubstituit)-7-cloro-1-etil-1,4-dihidro-4-oxo-chinolin-3-carboxilic (5)*

Sintetiza esterului etilic al acidului 6-(substituit/nesubstituit)-7-cloro-1-etil-1,4-dihidro-4-oxo-chinolin-3-carboxilic are loc printr-o reactie de alchilare pentru introducerea substituentului in pozitia 1 a nucleului chinolonic. Reactia de alchilare se desfasoara in mediul de N,N-dimetilformamida, in prezenta de carbonat de potasiu si utilizand drept agent de alchilare dietil sulfat. Esterul etilic (4) este supus unei reactii de hidroliza in mediul bazic.

◆ *Sinteza acidului 6-(substituit/nesubstituit)-7-substituit-1-etil-1,4-dihidro-4-oxo-chinolin-3-carboxilic (6)*

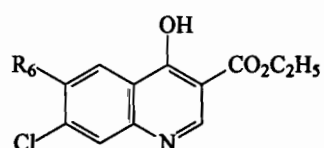
Sinteza acidului 6-(substituit/nesubstituit)-7-substituit-1-etil-1,4-dihidro-4-oxo-chinolin-3-carboxilic (6) se realizeaza prin reactii de substitutie regiospecifica a clorului din pozitia 7 a acidului (5).

Exemplul 1: Sinteza esterului etilic al acidului 6,7-dicloro-4-hidroxi chinolin-3-carboxilic - 6ClQE

Solutia formata din 3,4-dicloro-anilina (63,35 g; 0,387 moli) si etoximetilen malonatul de etil(EMME) (85,39 g, 0,387 moli) se incalzeste timp de 1,5 ore, sub agitare, la temperatura de 130°C, cu indepartarea concomitenta a alcoolului etilic rezultat in urma reactiei de condensare; [(3,4-dicloro-anilino)-metilen]-malonatul de dietil rezultat fara a fi separat din masa de reactie, se toarna peste Dowterm (250 ml) incalzit la 245°C. Se incalzeste amestecul de reactie, sub agitare intensa, timp de 45 de minute, la temperatura mentionata mai sus, cand are loc si indepartarea alcoolului etilic rezultat in urma reactiei de condensare. Se raceste la 20°C si se filtreaza precipitatul format, care se spala cu acetona si se usuca. Se obtin 105 g ester etilic al acidului 6,7-dicloro-4-hidroxi-chinolin-3-carboxilic (p.t.⁰ 310-315°C; randamentul global 87%).

Prin acelasi procedeu au fost preparati urmatorii compusi, prezentati in Tabel 1:

Tabel 1 Esterul etilic al acidului 6-(substituit/nesubstituit)-7-cloro-4-hidroxi-chinolin-3-carboxilic (3)



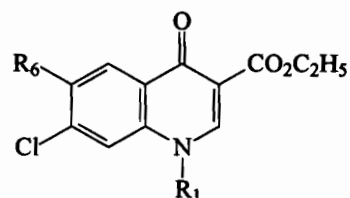
Exemplu	Compus	R ₆	RMN spectra	IR spectra	p.t. °C
Exemplu 1	6ClQE	Cl	¹ H-RMN(dmso-d6, δ ppm, J Hz): 8.63(s, 1H, H-2); 8.23(s, 1H, H-5(8)); 7.88(s, 1H, H-8(5)); 4.22(q, 2H, H-12, 7.1); 1.28(t, 3H, H-13, 7.1).	FT-IR(solid in ATR, v cm ⁻¹): 3142m; 3088s; 1693vs; 1604s; 1546m; 1516s; 1447m; 1378m; 1359w; 1331w; 1294m; 1266w; 1187m; 1122m; 1108m; 1028w; 966w; 909w; 888w; 860w; 827w; 800m; 756w; 679w; 647w; 620w.	310-315
Exemplu 1a	6FQE	F	¹ H-RMN(dmso-d6, δ ppm, J Hz): 8.63(s, 1H, H-2); 7.97(d, 1H, H-5, ³ J(¹⁹ F- ¹ H)=9.6 Hz); 7.87(d, 1H, H-8, ⁴ J(¹⁹ F- ¹ H)=6.3 Hz); 4.23(q, 2H, H-12, 7.1); 1.28(t, 3H, H-13, 7.1).	FT-IR(solid in ATR, v cm ⁻¹): 3154m; 3099s; 2984m; 2907w; 1691vs; 1610vs; 1551s; 1530s; 1470s; 1379m; 1358m; 1293m; 1271m; 1251m; 1219w; 1190m; 1170m; 1104w; 1036m; 968w; 934w; 901w; 855w; 828w; 800m; 770w; 734w; 655w; 621w; 555w.	308-313
Exemplu 1b	6MeQE	CH ₃	¹ H-RMN(dmso-d6, δ ppm, J Hz): 8.56(s, 1HH-2); 8.08(s, 1H, H-5(8)); 7.69(s, 1H, H-8(5)); 4.21(q, 2H, H-12, 7.1); 2.23(s, 3H, H-14); 1.28(t, 3H, H-13, 6.1).	FT-IR(solid in ATR, v cm ⁻¹): 3145m; 3114m; 3089s; 2985m; 1691vs; 1609vs; 1551m; 1466m; 1443m; 1377m; 1355m; 1286s; 1243w; 1195s; 1167s; 1109m; 1031m; 990m; 906w; 881m; 854w; 806m; 761w; 727w; 654w; 547w.	312-316
Exemplu 1c	HQE	H	¹ H-RMN(dmso-d6, δ ppm, J Hz): 8.60(s, 1H, H-2); 8.15(d, 1H, H-5, 8.5); 7.68(d, 1H, H-8, 1.7); 7.44(dd, 1H, H-6, 1.7, 8.5); 4.22(q, 2H, H-12, 7.1); 1.28(t, 3H, H-13, 7.1).	FT-IR(solid in ATR, v cm ⁻¹): 3102s; 2981s; 2904m; 1694vs; 1611vs; 1588m; 1548s; 1528s; 1461m; 1401w; 1378m; 1350m; 1291m; 1270m; 1194s; 1140m; 1106w; 1076m; 1031w; 937w; 910w; 887w; 855w; 830w; 788s; 751w; 678w; 623w; 513w.	310-312

Exemplul 2: Sintiza esterului etilic al acidului 1etil-6,7-dicloro-4-hidroxi chinolin-3-carboxilic - 6ClQEE

Un amestec format din N,N-dimetilformamida – 110 ml, 0,025 moli ester etilic al acidului 6,7-dicloro-4-hidroxi-chinolin-3-carboxilic (7,17 g), si 0,1125 moli carbonat de potasiu (15,86 g) se incalzeste sub agitare timp de 1 ora la 100°C, dupa care se raceste la 80°C. Se adauga apoi 0,1125 moli dietil sulfat (17,7 g) si se incalzeste masa de reactie sub agitare la 100°C, timp de 2,5 ore.La sfarsitul regimului, masa de reactie se filtreaza la cald (80°C) si se concentreaza la vid.Reziduul se extrage cu cloroform. Solutia cloroformica obtinuta se spala cu apa, se usuca pe sulfat de sodiu anhidru si se concentreaza la rotavapor.. Produsul brut se purifica prin recristalizare din isopropanol-apa.. Se obtin 4,74 g produs (p.t. 169,9-170,9°C; randament global reactie + purificare 60 %)- 6ClQEE

Prin acelasi procedeu au fost preparati urmatorii compusi, prezentati in Tabel 2:

Tabel 2 Esterul etilic al acidului 1-substituit-6-(substituit/nesubstituit)-7-cloro-4-oxo-chinolin-3-carboxilic (4)



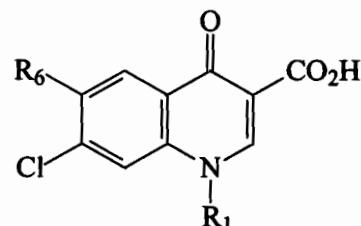
Exemplu	Compus	R ₁	R ₆	RMN spectra	IR spectra	p.t. °C
Exemplu 2	6ClQEE	etil	Cl	¹ H-NMR(CDCl ₃ , δ ppm, J Hz): 8.52(s, 1H, H-2); 8.45(s, 1H, H-5); 7.56(s, 1H, H-8); 4.38(q, 2H, H-17, 7.1); 4.22(q, 2H, H-20, 7.3); 1.56(t, 3H, H-21, 7.3); 1.41(t, 3H, H-18, 7.1). ¹³ C-NMR(CDCl ₃ , δ ppm): 172.54(C-4); 165.10(C-19); 148.98(C-2); 137.59(Cq); 137.49(Cq); 130.04(Cq); 129.40(CH); 128.60(Cq); 117.71(CH); 111.74(Cq); 61.14(C-20); 49.19(C-17); 14.50(C-22); 14.46(C-18).	FT-IR (solid in ATR, v cm ⁻¹): 3071w; 2987w; 2936w; 1719vs; 1633m; 1610w; 1587s; 1532w; 1478m; 1447m; 1381w; 1328m; 1309m; 1258w; 1230m; 1211m; 1141w; 1123m; 1103m; 1024m; 961w; 936w; 912w; 884w; 865w; 850w; 802w; 748w; 678w; 647w; 625w; 591w; 535w; 492w; 474w; 428w.	169,9-170,9
Exemplu 2a	6FQEE	etil	F	¹ H-NMR(CDCl ₃ , δ ppm, J Hz): 8.47(s, 1H, H-2); 8.23(d, 1H, H-5, J(¹⁹ F- ¹ H)=9.0 Hz); 7.54(d, 1H, H-8, J(¹⁹ F- ¹ H)=5.9 Hz); 4.39(q, 2H, H-17, 7.2); 4.24(q, 2H, H-20, 7.3); 1.57(t, 3H, H-21, 7.3); 1.41(t, 3H, H-18, 7.2). ¹³ C-NMR(CDCl ₃ , δ ppm): 172.98(C-4); 165.43(C-19); 155.52(d, C-6, J(¹⁹ F- ¹³ C)=250.4 Hz); 148.81(C-2); 135.42(Cq); 131.21(Cq); 127.17(Cq); 118.15(C-8); 114.41(d, C-5, J(¹⁹ F- ¹ H)=23.1 Hz); 111.07(Cq); 61.17(C-20); 49.32(C-17); 14.51(C-18-21).	FT-IR(solid in ATR, v cm ⁻¹): 3052w; 2977m; 2937w; 2908w; 1713vs; 1689m; 1611s; 1595s; 1566m; 1547m; 1479s; 1442s; 1369s; 1343m; 1309s; 1261m; 1203s; 1162vs; 1095m; 1058s; 944w; 899m; 866m; 835w; 802m; 772m; 733m; 679w; 606w; 534w; 471w.	145
Exemplu 2b	6MeQEE	etil	CH ₃	¹ H-NMR(CDCl ₃ , δ ppm, J Hz): 8.42(s, 1H, H-2); 8.33(q, 1H, H-5, ⁴ J(H-22 – H-5)=1.0 Hz); 7.42(s, 1H, H-8); 4.39(q, 2H, H-17, 7.2); 4.21(q, 2H, H-20, 7.3); 2.47(s, 3H, H-22); 1.54(t, 3H, H-21, 7.3); 1.41(t, 3H, H-18, 7.2). ¹³ C-NMR(CDCl ₃ , δ ppm):	FT-IR (solid in ATR, v cm ⁻¹): 3026w; 2980w; 2935w; 2865w; 1682s; 1632s; 1593vs; 1536m; 1484s; 1457m; 1380m; 1361m; 1329m; 1307m; 1254m; 1216s; 1179s; 1109m; 1081m; 1051w; 1021m; 990m; 931w;	312-316

				173.67(C-4);165.63(C-19); 148.51(C-2);139.69(Cq); 137.50(Cq);133.57(Cq); 129.64(C-5);127.70(Cq); 115.94(C-8);111.25(C-3); 60.95(C-20);48.94(C-17); 19.76(C-22); 14.50(C-18-21).	860w; 843m; 804m; 763w; 732w; 683w; 599w; 538w; 490w; 437w.	
Exemplu 2c	HQEE	etil	H	¹ H-NMR(CDCl ₃ , δ ppm, J Hz): 8.27(s, 1H, H-2); 8.23(d, 1H, H-5, 8.7); 7.26(d, 1H, H-8, 1.6); 7.17(dd, 1H, H-6, 1.6, 8.7); 4.20(q, 2H, H-17, 7.2); 4.06(q, 2H, H-20, 7.2); 1.37(t, 3H, H-21, 7.2); 1.23(t, 3H, H-18, 7.2). ¹³ C-NMR(CDCl ₃ , δ ppm): 174.40(C-4); 166.23(C-19); 149.72(C-2); 140.46(Cq); 140.03(Cq); 130.59(CH); 128.57(Cq); 126.44(CH); 116.51(CH); 112.13(Cq); 61.82(C-20); 49.86(C-17); 15.41(C-18); 15.35(C-21).	FT-IR (solid in ATR, ν cm ⁻¹): 3071w; 3039w; 2977w; 2899w; 1676s; 1631s; 1594vs; 1542s; 1454s; 1385m; 1366m; 1329w; 1309m; 1281w; 1207s; 1152m; 1130m; 1084s; 1052m; 1018m; 983w; 925w; 851w; 793m; 678w; 605w; 517w; 488w; 449w; 432w.	310-312

Exemplul 3: Sinteza acidului 1etil-6,7-dicloro-4-hidroxi chinolin-3-carboxilic - 6ClQA

Se incalzeste la reflux, sub agitare timp de 2 ore amestecul de reactie format din 0,0075 moli ester etilic al acidului 1etil-6,7-dicloro-4-hidroxi chinolin-3-carboxilic (2,37 g) si o solutie apa (50 ml)-etanol (20 ml) de 0,01875 moli hidroxid de sodiu (0,76 g). Se adauga carbune activ, se agita inca 30 de minute la aceeasi temperatura, se filtreaza, se mai adauga 45 ml apa si se precipita acidul 1-etil-6,7-dicloro-1,4-dihidro-4oxo-chinolin-3-carboxilic prin picurare de acid acetic glacial, pana la pH 4,5. Se filtreaza produsul brut, se spala cu apa pana la pH neutru, si se usuca. Dupa recristalizarea din dimetilformamida se obtin 1,72 g (p.t. 294,7-297,21°C, randament reactie +purificare 80 %

Prin acelasi procedeu au fost preparati urmatorii compusi, prezentati in Tabel 3:

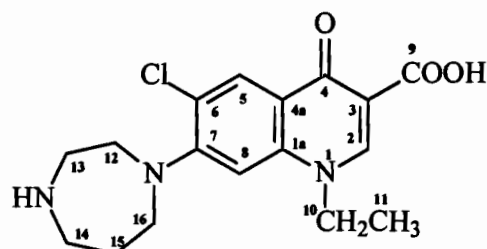
Tabel 3 Acidul 1-substituit-6-(substituit/nesubstituit)-7-cloro-4-oxo-chinolin-3-carboxilic (5)

Exemplu	Compus	R ₁	R ₆	RMN spectra	IR spectra	p.t. °C
Exemplu 3	6CIQA	etil	Cl	¹ H-NMR(dmso-d6, δ ppm, J Hz): 9.06(s, 1H, H-2); 8.42(s, 1H, H-5); 8.41(s, 1H, H-8); 4.59(q, 2H, H-17, 7.1); 1.39(t, 3H, H-18, 7.1). ¹³ C-NMR(dmso-d6, δ ppm): 176.31(C-19); 165.47(C-4); 150.33(C-2); 138.46(Cq); 137.51(Cq); 129.59(Cq); 127.11(CH); 125.57(Cq); 120.55(CH); 108.61(Cq); 49.36(C-17); 44.61(C-18).	FT-IR(solid in ATR, ν cm ⁻¹): 3094w; 3038w; 2990w; 1715s; 1599vs; 1547m; 1526m; 1486m; 1456vs; 1437vs; 1382s; 1300m; 1258m; 1219s; 1147m; 1122m; 1090m; 973m; 936s; 909m; 864m; 805m; 771w; 752w; 688w; 666m; 541w.	294,7- 297,2
Exemplu 3a	6FQA	etil	F	¹ H-NMR(dmso-d6, δ ppm, J Hz): 9.05(s, 1H, H-2); 8.41(d, 1H, H-8, J(¹⁹ F- ¹ H)=6.0 Hz); 8.14(d, 1H, H-5, J(¹⁹ F- ¹ H)=7.4 Hz); 4.60(q, 2H, H-17, 7.1); 1.39(t, 3H, H-18, 7.1). ¹³ C-NMR(dmso-d6, δ ppm): 176.49(C-4); 165.52(C-19); 154.91(d, C-6, J(¹⁹ F- ¹³ C)=247.6 Hz); 149.76(C-2); 136.24(Cq); 127.46(d, C-7, J(¹⁹ F- ¹³ C)=19.7Hz); 125.98(Cq); 121.06(C-8); 111.98(d, C-5, J(¹⁹ F- ¹ H)=22.7 Hz); 107.89(Cq); 49.42(C-17); 14.60(C-18).	FT-IR(solid in ATR, ν cm ⁻¹): 3055w; 2979m; 1712s; 1607s; 1562w; 1541w; 1508m; 1445vs; 1389s; 1339m; 1303s; 1264s; 1227m; 1205s; 1114m; 1088m; 1027m; 974m; 929m; 896m; 806m; 776w; 750m; 684m; 545w; 494w; 442w.	178,5- 281,5
Exemplu 3b	6MeQA	etil	CH ₃	¹ H-NMR(dmso-d6, δ ppm, J Hz): 8.98(s, 1H, H-2); 8.23(s, 1H, H-8); 8.11(s, 1H, H-5); 4.55(q, 2H, H-17, 7.1); 2.46(s, 3H, H-19); 1.38(t, 3H, H-18, 7.1). ¹³ C-NMR(dmso-d6, δ ppm): 177.10(C-19); 165.91(C-4); 149.38(C-2); 140.35(Cq); 138.13(Cq); 134.45(Cq); 127.58(CH); 124.39(Cq); 118.12(Cq); 107.97(Cq);	FT-IR(solid in ATR, ν cm ⁻¹): 3047w; 2986w; 1699s; 1603vs; 1564m; 1515m; 1457vs; 1379s; 1331m; 1296m; 1264m; 1224s; 1120m; 1094w; 1019m; 994m; 953s; 902m; 869m; 806m; 776w; 736w; 686w; 607w; 538w.	272,3- 273,6

				49.08(C-17); 19.45(C-19); 14.62(C-18).		
Exemplu 3c	HQA	etil	H	¹ H-NMR(dmso-d6, δ ppm, J Hz): 9.03(s, 1H, H-2); 8.38(d, 1H, H-5, 8.9); 8.16(d, 1H, H-8, 1.6); 7.69(dd, 1H, H-6, 1.6, 8.9); 4.58(q, 2H, H-17, 7.1); 1.39(t, 3H, H-18, 7.1). ¹³ C-NMR(dmso-d6, δ ppm): 177.19(C-19); 165.88(C-4); 149.97(C-2); 140.06(Cq); 139.42(Cq); 137.08(Cq); 128.20(CH); 126.69(CH); 124.57(Cq); 117.72(CH); 49.10(C-17); 14.58(C-18).	FT-IR(solid in ATR, ν cm ⁻¹): 3100m; 3043m; 2986m; 2941w; 2913w; 1709vs; 1605vs; 1557m; 1533m; 1504s; 1448vs; 1383s; 1304m; 1268m; 1214s; 1154s; 1131m; 1081m; 1041m; 976m; 939m; 919m; 873m; 840m; 794s; 772m; 688w; 617w; 514w.	279,5-282,1

Exemplul 4 : acidul 1-etil-6-cloro-7-homopiprazinil-4-oxo-1,4-dihidro-chinolin-3-carboxilic (6ClPQ56)

Un amestec format din 0,02 moli acid 1-etil-6,7-dicloro-1,4-dihidro-4-oxo-chinolin-3-carboxilic (5,71 g), 0,1 moli homopiperazina (10 g) si DMSO (100 ml) se incalzeste sub agitare energica timp de 7 ore la 120-130°C. La sfarsitul regimului masa de reactie se raceste sub agitare si apoi se distila la vid. Reziduul obtinut se dizolva intr-o solutie de hidroxid de sodiu 2N iar dupa filtrare, solutia obtinuta se aduce la pH 7,2 cu o solutie de acid acetic 10%. Precipitatul format se filtreaza, se spala cu apa si se dizolva intr-o solutie de acid acetic 10 %. Dupa filtrare solutia obtinuta se aduce la pH 7,2 cu o solutie de hidroxid de sodiu 2N. Precipitatul format se filtreaza, se spala cu apa si dupa uscare se recristalizeaza din N,N-DMF. Se obtin 3,57 g produs pur (p.t. = 179,3-181,5°C; randament reactie + purificare 51 %).



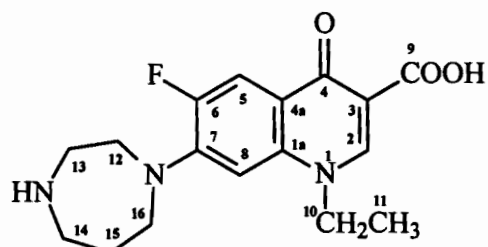
6Cl-PQ-56

¹H-NMR(dmso-d6, δ ppm, J Hz, 300 MHz): 8.90(s, 1H, H-2); 7.93(s, H-5); 7.20(s, 1H, H-8); 4.52(q, 2H, H-10, 7.0); 3.69(m, 2H, H-16); 3.62(m, 2H, H-12); 3.01(m, 2H, H-13); 2.99(m, 2H, H-14); 1.91(m, 2H, H-15); 1.40(t, 3H, H-11, 7.0).

Semnalele H-12 și H-16 sunt acoperite de semnalul intens al apei din dmso. Atribuirea deplasărilor chimice pentru proton s-a facut pe baza spectrelor de corelare bidimensională HMQC.

Prin acelasi procedeu au fost preparati urmatorii compusi

Exemplul 4a : acidul 1-etil-6-fluoro-7-homopiprazinil-4-oxo-1,4-dihidro-chinolin-3-carboxilic (FPQ56)



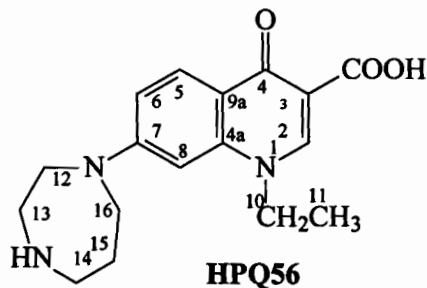
FPQ-56

¹H-NMR(dmso-d6, δ ppm, J Hz): 8.84(s, 1H, H-2); 7.82(d, 1H, H-5, *J*(H⁵-F)=15.0); 6.85(d, 1H, H-8, ⁴*J*(H⁸-F)=7.7); 4.51(q, 2H, H-10, 7.0); 3.64(m, 4H, H-12, H-16); 2.94(bt, 2H, H-13, 5.6); 2.73(t, 2H, H-14, 5.6); 1.83(qv, 2H, H-15, 5.6); 1.39(t, 3H, H-11, 7.0);

¹³C-NMR(dmso-d6, δ ppm): 175.69(C-9); 162.27(C-4); 148.10(C-2); 137.53(C-1a); 111.55(d, C-5, *J*(F-C⁵)=25.1 Hz); 106.44(C-4a); 101.35(C-3); 56.65(C-12 or C-16); 50.68(C-12 or C-16); 48.86(C-10); 48.53(C-13 or C-14); 47.46(C-13 or C-14); 36.84(C-15); 14.26(C-11).

FT-IR(ATR in solid, ν cm⁻¹): 3467w, 2984w, 2866w, 2540w, 2432w, 2159s, 2097m, 2032s, 1977s, 1621vs; 1560s; 1485s; 1380m; 1339m; 1282m; 1262m, 1248s, 1184m; 1128m; 1084m, 1067w 1009w; 968w; 952w; 905m, 893m, 743s, 629s, 560w, 546s, 517m

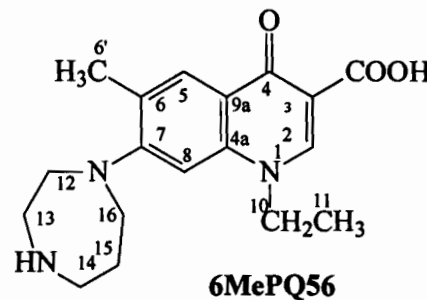
Exemplul 4b : acidul 1-etyl-6-7-homopiprazinil-4-oxo-1,4-dihidro-chinolin-3-carboxilic (HPQ56)



¹H-NMR(dmso-d6, δ ppm, J Hz): 8.16(s, 1H, H-2); 8.29(d, 1H, H-5); 5.60(d, 1H, H-8); 3.71(q, 2H, H-10); 3.70÷3.20(m, 4H, H-12, H-16); 2.83(2H, H-13); 3.02(2H, H-14); 2.04(2H, H-15); 1.61(3H, H-11);

¹³C-NMR(dmso-d6, δ ppm): 167.8(C-9); 178.7(C-4); 144.2(C-2); 142.4(C-1a); 130.6(C-5); 119.4(C-4a); 113.9(C-3); 51.8(C-12 or C-16); 48(C-12 or C-16); 45.5(C-10); 52.4(C-13 or C-14); 52.3(C-13 or C-14); 28.9(C-15); 11.9(C-11).

Exemplul 4c : acidul 1-etyl-6-metil-7-homopiprazinil-4-oxo-1,4-dihidro-chinolin-3-carboxilic (6MePQ56)

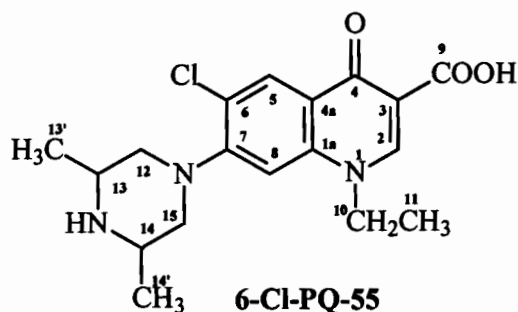


¹H-NMR(dmso-d6, δ ppm, J Hz): 8.33(s, 1H, H-2); 8.32(d, 1H, H-5); 6.79(d, 1H, H-8); 3.79(q, 2H, H-10); 3.64÷3.26(m, 4H, H-12, H-16); 2.63(2H, H-13); 3.01(2H, H-14); 2.22(3H, H-6'); 2.03(2H, H-15); 1.63(3H, H-11);

¹³C-NMR(dmso-d6, δ ppm): 167.6(C-9); 179.1(C-4); 144.4(C-2); 131.7(C-6); 156(C-7); 139.8(C-1a); 113.3(C-8); 133.1(C-5); 112.6(C-4a); 114(C-3); 54.4(C-12 or C-16); 52.3(C-12 or C-16); 45.6(C-10); 49.9(C-13 or C-14); 49.3.3(C-13 or C-14); 33.5(C-15); 19.8(C6'); 11.65(C-11).

Exemplul 6 : acidul 1-etil-6-cloro-(3,5dimetil-piperaznil)-4-oxo-1,4-dihidro-chinolin-3-carboxilic (6CIPQ55)

Un amestec format din 0,02 moli acid 1-etil-6,7-dicloro-1,4-dihidro-4-oxo-chinolin-3-carboxilic (5,71 g), 0,1 moli 2,6-dimetil-piperazina (11,4 g) si DMSO (100 ml) se incalzeste sub agitare energica timp de 6 ore la 110°C. La sfarsitul regimului masa de reactie se raceste sub agitare si apoi se distila la vid. Reziduul obtinut se dizolva intr-o solutie de hidroxid de sodiu 2N iar dupa filtrare, solutia obtinuta se aduce la pH 7,2 cu o solutie de acid acetic 10%. Precipitatul format se filtreaza, se spala cu apa si se dizolva intr-o solutie de acid acetic 10 %. Dupa filtrare solutia obtinuta se aduce la pH 7,2 cu o solutie de hidroxid de sodiu 2N. Precipitatul format se filtreaza, se spala cu apa si dupa uscare se recristalizeaza din N,N-DMF. Se obtin 4,22 g produs pur (p.t. = 220-223°C; randament reactie + purificare 58 %).

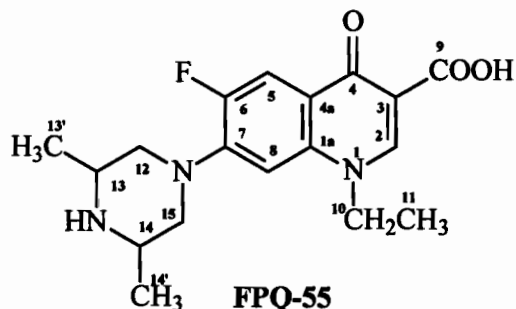


¹H-NMR(300MHz, dmso-d6, δ ppm, J Hz): 8.94 (s, 1H, H-2); 8.19(s, 1H, H-5); 7.23(s, H-8); 4.56(q, 2H, H-10, 7.0); 3.40(m, syst. AB, H-12, H-15, *eq* or *ax*); 2.98(bs, 2H, H-13, H-14); 2.41(t, syst. AB, H-12, H-15, *eq* or *ax*, 11.2); 1.41(t, 3H, H-11, 7.0); 1.03(d, 6H, H-13', H-14', 6.2).

¹³C-NMR(dmso-d6, δ ppm, 75 MHz): 176.17(C-9); 166.15(C-4); 153.82(C-7); 149.27(C-2); 139.31(C-1a); 127.35(C-5); 126.63(C-6); 120.59(C-4a); 107.80(C-3); 108.16(C-8); 57.13(C-12, C-15); 50.45(C-13, C-14); 49.14(C-10); 19.18(C-13', C-14'); 14.42(C-11).

FT-IR(ATR in solid, v cm⁻¹): 3451w; 2981w; 2940w; 1627s; 1565vs; 1517m; 1464s; 1380m; 1353m; 1325m; 1239s; 1144w; 1113m; 1057w; 1027m; 973w; 911w; 868w; 835w; 753m; 725w; 678w.

Exemplul 6a : acidul 1-etyl-6-fluoro-(3,5dimetil-piperazinil)-4-oxo-1,4-dihidro-chinolin-3-carboxilic (FPQ55)



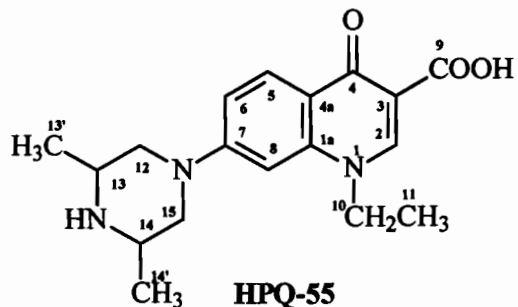
¹H-NMR(dmso-d₆, δ ppm, J Hz): 8.89(s, 1H, H-2); 7.81(d, 1H, H-5, *J*(H⁵-F)=13.6); 7.07(d, 1H, H-8, *J*(H⁸-F)=7.3); 4.55(q, 2H, H-10, 7.0); 3.51(dd, 2H, syst. AB, H-12, H-15, *eq* or *ax*, 2.7, 11.2); 2.91(m, 2H, H-13, H-14); 2.42(t, 2H, syst. AB, H-12, H-15, *eq* or *ax*, 11.2); 1.41(t, 3H, H-11, 7.0); 1.03(d, 6H, H-13', H-14', 6.2).

Protonii H-12, H-15 formează un sistem AB și în funcție de unghiul diedru cu H-13, H-14 couplează sau nu cu aceștia. Astfel H-12, H-15 prezintă multiplicitatea de triplet, cuplaj egal cu protonul *geminal* și cu protonul *vicinal*, și multiplicitate de dublet de dubleți când se observă cuplajul mare *geminal* și cuplajul *vicinal* mic.

¹³C-NMR(dmso-d₆, δ ppm): 175.93(C-9); 163.94(C-4); 152.65(d, C-6, *J*(F-C⁶)=249.3 Hz); 148.21(C-2); 145.46(d, C-7, *J*(F-C⁷)=21.4 Hz); 137.12(C-1a); 116.75(d, C-8, *J*(F-C⁸)=8.2 Hz); 111.02(d, C-5, *J*(F-C⁵)=22.2 Hz); 106.86(C-4a); 105.38(C-3); 56.14(C-12, C-15); 50.08(C-13, C-14); 48.97(C-10); 19.24(C-13', C-14'); 14.32(C-11).

FT-IR(ATR in solid, ν cm⁻¹): 3450w; 2979w; 2840w; 2446w 2159s, 2097m, 2032s, 1976s, 1618vs; 1568s; 1487s; 1383m; 1329m; 1282m; 1265m, 1240s, 1180m; 1120m; 1062m 1000w; 974w; 948m; 920m, 834m, 739s, 627m, 519m

Exemplul 6b : acidul 1-etyl-6-(3,5dimetil-piperazinil)-4-oxo-1,4-dihidro-chinolin-3-carboxilic (HPQ55)



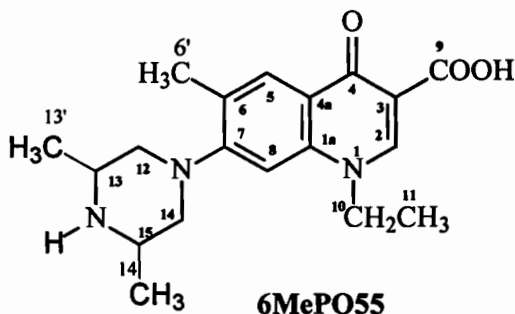
¹H-NMR(dmso-d6, δ ppm, J Hz, 300MHz): 8.81(s, 1H, H-2); 8.10(d, 1H, H-5, 9.2); 7.31(d, H-6, 9.2); 6.89(bs, 1H, H-8); 4.50(q, 2H, H-10, 7.0); 3.93(bd, syst. AB, H-12, H-15, *eq* or *ax*, 11.2); 2.39(t, syst. AB, H-12, H-15, *eq* or *ax*, 11.2); 2.81(bs, 2H, H-10, H-13); 1.38(t, 3H, H-11, 7.0); 1.06(d, 6H, H-13', H-14', 6.2).

Protonii H-12 și H-15 sunt în conformatie ecuatorială (*eq*) și axială (*ax*). Constanta de cuplaj geminal (syst AB) este egală cu constanta de cuplaj vicinal și protonii apar ca triplet la 2.39 ppm. Perechea de protoni cu δ=3.93 ppm apare ca dublet largit datorită cuplajului geminal; nu couplează cu H-13, respectiv H-14 cu care se află în planuri diedre perpendiculare. H-13 sau H-14 couplează cu protonii metilenici H-13'/H-14' și cu una din perechile H-12/H-15 aflate in conformatie axială sau ecuatorială.

¹³C-NMR(dmso-d6, δ ppm, 75 MHz): 176.43(C-9); 166.84(C-4); 154.44(C-7); 148.41(C-2); 141.36(C-1a); 127.21(C-5); 116.05(C-4a); 106.76(C-3); 114.77(C-6); 97.93(C-8); 53.24(C-12, C-15); 50.19(C-13, C-14); 48.65(C-10); 19.23(C-13', C-14'); 14.39(C-11).

FT-IR(ATR in solid, v cm⁻¹): 2965w; 2852w; 1712m; 1616vs; 1512m; 1453m; 1396m; 1320w; 1253m; 1189w; 1157w; 1090w; 962w; 800m; 658w.

Exemplul 6c : acidul 1-etyl-6-metil-(3,5dimetil-piperazinil)-4-oxo-1,4-dihidro-chinolin-3-carboxilic (6MePQ55)

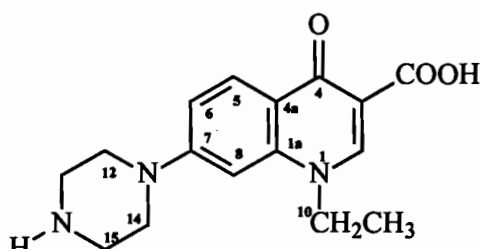


¹H-NMR(dmso-d6, δ ppm, J Hz): 8.32(s, 1H, H-2); 8.32(d, 1H, H-5); 6.52(d, 1H, H-8); 3.76÷3.74(q, 2H, H-10); 3.31(2H, H-12, H-15); 3.84(2H, H-13,H-13); 2.94(2H, H-12, H-15); 2.25(3H, H-6'); 1.62(3H, H-11); 1.02(6H, H-13', H-14')

¹³C-NMR(dmso-d6, δ ppm): 167.6(C-9); 179.1(C-4); 144.4(C-2); 130.8(C-6); 156.9(C-7); 140(C-1a); 106.1(C-8); 132.8(C-5); 123.8(C-4a); 114.1(C-3); 55(C-12,C-15); 52.3(C-13,C-14); 45.6(C-10); 21.5(C-13',C-14'); 19.8(C6'); 11.9(C-11).

Exemplul 7 : acidul 1-etyl-piperazinil-4-oxo-1,4-dihidro-chinolin-3-carboxilic (HNF)

Un amestec format din 0,02 moli acid 1-etyl-1,4-dihidro-4-oxo-chinolin-3-carboxilic (5,03 g), 0,1 moli piperazina x 6 H₂O (21.5 g) si DMSO (100 ml) se incalzeste sub agitare energica timp de 2 ore la 120-130°C. La sfarsitul regimului masa de reactie se raceste sub agitare si apoi se distila la vid. Reziduul obtinut se dizolva intr-o solutie de hidroxid de sodiu 2N iar dupa filtrare, solutia obtinuta se aduce la pH 7,2 cu o solutie de acid acetic 10%. Precipitatul format se filtreaza, se spala cu apa si se dizolva intr-o solutie de acid acetic 10 %. Dupa filtrare solutia obtinuta se aduce la pH 7,2 cu o solutie de hidroxid de sodiu 2N. Precipitatul format se filtreaza, se spala cu apa si dupa uscare se recristalizeaza din N,N-DMF. Se obtin 3.6 g produs pur (p.t. = 270-273°C; randament reactie + purificare 60 %).

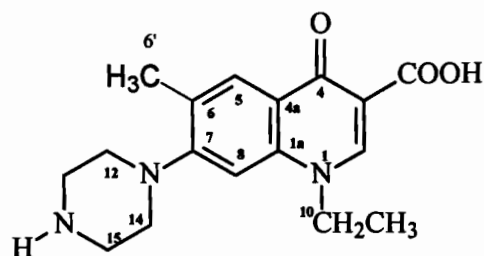


¹H-NMR(dmso-d6, δ ppm, J Hz, T=333K): 8.28(s, 1H, H-2); 8.34(s, 1H, H-5); 6.25(s, 1H, H-8); 3.73(q, 2H, H-17, 7.1); 3.15(m, 4H, H-12, H-14); 2.90((m, 4H, H-13, H-15); 1.62(3H, H-18).

¹³C-NMR(dmso-d6, δ ppm, T=333K): 179.1(C-4); 167.6(C-9); C6(112.2); 141.7(C-1a); 144.7(C-2); 153.6(C-7); 131.5(C-5); 121.6(C-4a); 113.7(C-3); 101.7(C-8); 49.5(C-12, C-14); 45.6(C-10); 47.1(C-13, C-15); 11.9(C-11). Temperatura a fost necesară pentru a asigura o solubilitate mărită a compusului.

Prin acelasi procedeu a fost preparat urmatorul compus:

Exemplul 7a : acidul 1-etyl-(4-metil-piperazinil)-4-oxo-1,4-dihidro-chinolin-3-carboxilic (6MeNF)



6MeNF

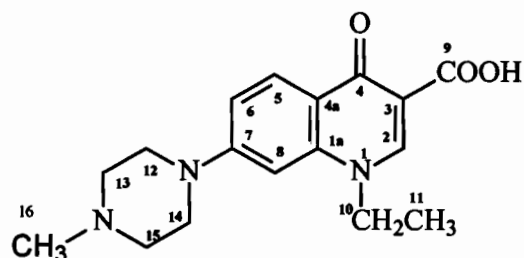
¹H-NMR(dmso-d6, δ ppm, J Hz): 8.07(s, 1H, H-2); 8.25(d, 1H, H-5); 6.39(d, 1H, H-8); 3.28(q, 2H, H-10); 3.27(2H, H-12, H-14); 2.76(2H, H-13,H-15); 2.94(2H, H-12, H-15); 2.19(3H, H-6'); 1.35(3H, H-11);

¹³C-NMR(dmso-d6, δ ppm): 167.1(C-9); 179.1(C-4); 149.1(C-2); 127.6(C-6); 154.3(C-7); 138.1(C-1a); 104.8(C-8); 133.8(C-5); 122.6(C-4a); 114.4(C-3); 51.6(C-12,C-14); 45.9(C-13,C-15); 50(C-10); 20.7(C6'); 14.2(C-11).

Exemplul 8 : acidul 1-etyl-7-(4-metil-piperazinil)-4-oxo-1,4-dihidro-chinolin-3-carboxilic (HPF)

Un amestec format din 0,01 moli acid 1-etyl-7-cloro-1,4-dihidro-4-oxo-chinolin-3-carboxilic (2,51 g), 0,1 moli 4-metil-piperazina (10 g) si piridina (40 ml) se incalzeste sub agitare energica timp de 10 ore la reflux. La sfarsitul regimului masa de reactie se raceste sub agitare si apoi se

distila la vid. Reziduul obtinut se dizolva intr-o solutie de acid acetic 10%. Dupa filtrare solutia obtinuta se aduce la pH 7,2 cu o solutie de hidroxid de sodiu 20%. Precipitatul format se filtreaza, se spala cu apa si dupa uscare se recristalizeaza din N,N-DMF. Se obtin 1,2 g produs pur (p.t. = 212,6-214,26°C; randament reactie + purificare 40 %).

**HPF**

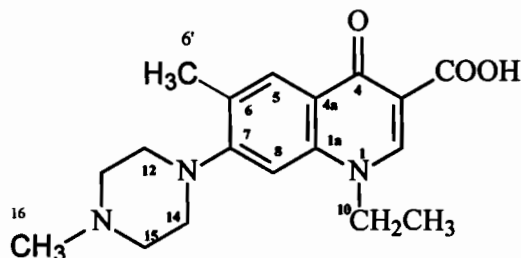
¹H-NMR(dmso-d6, δ ppm, J Hz): 8.84(s, 1H, H-2); 8.14(d, 1H, H-5, 9.2); 7.32(d, 1H, H-6, 9.2); 6.96(s, 1H, H-8); 4.52(q, 2H, H-17, 7.1); 3.51(bt, 4H, 2H-20, 2H-24, 4.5); 3.36(vbs, 1H, COOH); 2.60(bs, 4H, 2H-21, 2H-23); 2.30(s, 3H, H-22); 1.40(t, 3H, H-18, 7.1).

¹³C-NMR(dmso-d6, δ ppm): 176.33(C-4); 166.34(C-19); 154.27(C-7); 148.28(C-2); 141.06(Cq); 127.00(C-5); 116.35(Cq); 114.50(C-6); 106.75(Cq); 98.22(C-8); 53.96(C-13, C-15); 48.39(C-10); 45.27(C-12, C-44); 40.43(C-16); 14.17(C-11).

FT-IR(solid in ATR, ν cm⁻¹): 3053w; 2981w; 2934m; 2848w; 2809w; 2765w; 1697s; 1612vs; 1521s; 1455vs; 1371s; 1351s; 1298m; 1245s; 1144s; 1083m; 978m; 811m; 787m; 658w; 531w.

Prin acelasi procedeu a fost preparat urmatorul compus:

Exemplul 8a : acidul 1-etyl-6-metil-(4-metil-piperazinil)-4-oxo-1,4-dihidro-chinolin-3-carboxilic (6MePF)

**6MePF**

¹H-NMR(dmso-d₆, δ ppm, J Hz): 8.09(s, 1H, H-2); 8.27(d, 1H, H-5); 6.47(d, 1H, H-8); 3.89(q, 2H, H-10); 3.40(4H, H-12, H-14); 2.29(4H, H-13,H-15); 2.94(2H, H-12, H-15); 2.22(3H, H-6'); 2.18(C-16); 1.36(3H, H-11);

¹³C-NMR(dmso-d₆, δ ppm): 167.1(C-9); 179.2(C-4); 149.3(C-2); 127.9(C-6);154.2(C-7); 138(C-1a); 105.5(C-8);133.7(C-5); 122.8(C-4a); 114.5(C-3); 51.5(C-12,C-14); 52.4(C-13,C-15); 50(C-10); 20.5(C6');46.7(C-16);14.3(C-11).

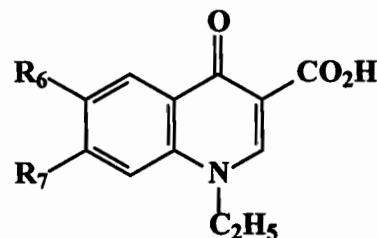
In scopul determinarii proprietatii antimicrobiene pe care o pot avea chinolonele , s-a recurs la metoda dilutiilor seriate in vederea stabilirii unei concentratii minime inhibitorii (CMI) si a tipului de de actiune pe care acestea le au fata de tulpini bacteriene test, frecvent intalnite in tehnologiile farmaceutice (activitate bactericida-CMB).S-a determinat CMI in bulion Mueller-Hinton, utilizandu-se metoda microdiluțiilor. Tulpinile test fată de care s-a făcut testarea sunt *Escherichia coli* ATCC 8739 si *Staphylococcus aureus* ATCC 6538.

Tabel 4 : Activitatea antimicrobiana „in vitro” a chinolonelor

Denumire compus	Concentratie minima inhibitorie (μg/ml)	
	<i>Escherichia coli</i> ATCC 8739	<i>Staphylococcus aureus</i> ATCC 6538
FPQ 55	<0.25	0.5
FPQ 56	<0.25	4.00
6CIPQ 55	0.5	2.0
6CIPQ 56	<0.25	4.00
HPQ 55	4.00	32
HPF	8	64

REVENDICARI

1.Derivati chinolonici, cu formula generala I



caracterizati prin aceea ca R_6 este fluor, clor, hidrogen, metil , iar R_7 este 3,5-dimetil-piperazinil, homopiperazinil, piperazinil, 4-metil-piperazinil.

2. Derivat chinolonic conform revendicarii1, **caracterizat prin aceea ca**, este acidul 1-etyl-6-cloro-7-homopiperazinil-1,4-dihidro-4-oxo-chinolin-3-carboxilic.
3. Derivat chinolonic conform revendicarii1, **caracterizat prin aceea ca**, este acidul 1-etyl-7-homopiperazinil-1,4-dihidro-4-oxo-chinolin-3-carboxilic.
4. Derivat chinolonic conform revendicarii1, **caracterizat prin aceea ca**, este acidul 1-etyl-6-metil-7-homopiperazinil-1,4-dihidro-4-oxo-chinolin-3-carboxilic.
5. Derivat chinolonic conform revendicarii1, **caracterizat prin aceea ca**, este acidul 1-etyl-6-cloro-7-(3,5-dimetil-piperazinil)-1,4-dihidro-4-oxo-chinolin-3-carboxilic.
6. Derivat chinolonic conform revendicarii1, **caracterizat prin aceea ca**, este acidul 1-etyl-7-(3,5-dimetil-piperazinil)-1,4-dihidro-4-oxo-chinolin-3-carboxilic.
7. Derivat chinolonic conform revendicarii1, **caracterizat prin aceea ca**, este acidul 1-etyl-6-metil-7-(3,5-dimetil-piperazinil)-1,4-dihidro-4-oxo-chinolin-3-carboxilic.
8. Derivat chinolonic conform revendicarii1, **caracterizat prin aceea ca**, este acidul 1-etyl-6-metil-7-piperazinil-1,4-dihidro-4-oxo-chinolin-3-carboxilic.
9. Derivat chinolonic conform revendicarii1, **caracterizat prin aceea ca**, este acidul 1-etyl-6-metil-7-(4-metil-piperazinil)-1,4-dihidro-4-oxo-chinolin-3-carboxilic.